## Излучение Смита–Парселла, управляемое полем стоячей лазерной волны

 $A. A. Тищенко^{1)}$ 

Национальный исследовательский ядерный университет "МИФИ", 115409 Москва, Россия

Международная научно-образовательная лаборатория радиационной физики, Национальный исследовательский университет "БелГУ", 308034 Белгород, Россия

Поступила в редакцию 22 декабря 2022 г. После переработки 27 декабря 2022 г. Принята к публикации 28 декабря 2022 г.

Излучение Смита—Парселла (ИСП) хорошо известно как источник квазимонохроматического электромагнитного излучения, возникающего при движении быстрых электронов над дифракционной решеткой. В настоящей работе рассчитана генерация излучения Смита—Парселла от плоской поверхности, вдоль которой присутствует поле стоячей лазерной волны. Периодически изменяющееся поле лазера индуцирует периодическую неоднородность распределения электронов в приповерхностном слое; эта периодичность, являясь аналогом дифракционной решетки, приводит к возможности генерации излучения Смита—Парселла. Показано, что свойства излучения Смита—Парселла от такой необычной "световой" решетки также необычны: дисперсионное соотношение, в отличие от стандартного для ИСП, не содержит порядков дифракции, так что все излучение сосредоточено в одном пике. Рассчитанный эффект позволяет управлять частотой или углом излучения, меняя частоту лазера, и может представлять интерес для разработки новых компактных источников излучения с перестраиваемыми характеристиками и для невозмущающей диагностики релятивистских электронных пучков.

DOI: 10.31857/S1234567823040031, EDN: phxemp

Введение. Излучение Смита-Парселла (ИСП) возбуждается при пролете заряженных частиц вблизи мишени, которая имеет периодичность в направлении движения заряда. ИСП было экспериментально зарегистрировано в 1953 г. [1] американскими учеными Смитом и Парселлом, и носит их имя; однако, еще в 1942 г. оно было теоретически предсказано И. М. Франком [2]. Позже ИСП было детально изучено теоретически и экспериментально для дифракционных решеток разных профилей и из разных материалов [3-5], легло в основу мощных источников излучения оротронов (или ГДИ – генератор дифракционного излучения, пользуясь терминологией академика В. П. Шестопалова [6], который посвятил разработке этого прибора значительное время, добившись его практической реализации). Еще позже, в конце 20го – начале 21-го века, ИСП начали исследовать как основу для невозмущающей диагностики релятивистских электронных пучков [7–12]: действительно, поскольку для генерации ИСП достаточно лишь пролета пучка рядом с решеткой, прямого рассеяния электронов в материале мишени не происходит, и единственное, что может возмущать характеристики электронного пучка, это импульс отдачи, которым на практике в относительно мягком спектральном диапазоне чаще всего пренебрегают. В последние годы ИСП очень активно исследуется как источник излучения от более экзотических структур: наноплазмонных кристаллов [13–17], фотонных кристаллов [18–23], метаповерхностей [24–28], ИСП от закрученных электронов [29–31], ИСП вблизи связанных состояний в континууме [32] и др.

На практике для генерации ИСП используются разные типы решеток: синусоидальные, стриповые, эшелетт и т.п., которые объединяет наличие периодически повторяющихся выступов — элементов решетки. Период решетки d определяет главные характеристики ИСП, связывая длину волны  $\lambda$  и угол излучения  $\theta$  при заданной скорости электрона  $v=\beta c$ :

$$\lambda s = d(\beta^{-1} - \cos \theta),\tag{1}$$

где s – целое число (s > 0).

С квантовой точки зрения, однако, для генерации излучения свободным электроном необходима передача импульса вдоль траектории электрона неоднородной структуре [33]. Периодически-неровные поверхности реализуют лишь один из частных случа-

<sup>1)</sup>e-mail: tishchenko@mephi.ru

ев решетки. Между тем, периодически-неоднородные оптические свойства могут быть созданы полем лазера, которое сохранит поверхность ровной, но создаст оптическую неоднородность свойств поверхности. Подстройка частоты лазера позволит управлять периодом решетки, а тем самым и характеристиками излучения.

Ниже мы рассмотрим генерацию излучения при пролете релятивистских электронов над ровной поверхностью, вдоль которой сформировано поле стоячей лазерной волны, см. рис. 1.

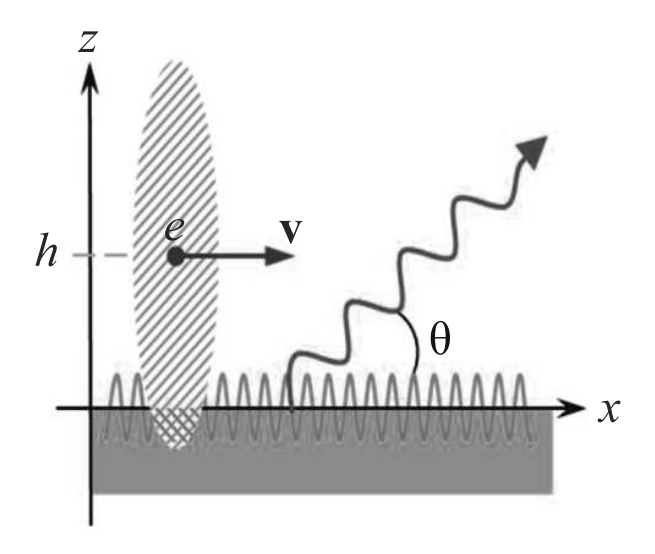


Рис. 1. (Цветной онлайн) Электрон с зарядом e (фиолетовым) летит на расстоянии h вдоль ровной поверхности полубесконечной среды (зеленым) и генерирует ИСП (голубым) от оптической периодической неоднородности, индуцированной полем стоячей лазерной волны (оранжевым)

**2.** Плотность тока и излучение. Рассмотрим материал с диэлектрической проницаемостью  $\varepsilon_0(\omega)$ , находящийся во внешнем поле стоячей лазерной волны

$$\mathbf{E}_L(\mathbf{r},\omega) = \mathbf{E}_L(\omega)\cos(k_0 x),\tag{2}$$

где  $k_0 = \sqrt{\varepsilon(\omega_0)}(\omega_0/c)$  – волновое число, характеризующее период стоячей волны.

Для изотропного материала дополнительное слагаемое в диэлектрической проницаемости, возникающее ввиду дополнительной поляризации вещества внешним полем, может быть только квадратичным по полю, поскольку не существует никакого постоянного вектора, с помощью которого можно было бы составить линейный по полю тензор второго ранга [34] (эффект Керра):

$$\varepsilon_{ii}(\mathbf{r},\omega) = \varepsilon_0(\omega)\delta_{ii} + \chi E_{Li}(\mathbf{r},\omega)E_{Li}(\mathbf{r},\omega),$$
 (3)

где  $\chi$  — некоторый коэффициент, характеризующий способность среды поляризоваться под действием внешнего поля  $\mathbf{E}_L$ . Пренебрегая влиянием анизотропности свойств приповерхностного слоя, можем записать диэлектрическую проницаемость среды в виде

$$\varepsilon(\mathbf{r},\omega) = \varepsilon_0(\omega) + \chi |\mathbf{E}_L(\mathbf{r},\omega)|^2, \tag{4}$$

Таким образом, с учетом известной связи

$$\varepsilon(\mathbf{r},\omega) = \varepsilon_0(\omega) + \frac{4\pi i}{\omega} \sigma(\mathbf{r},\omega),$$
 (5)

можно видеть, что стоячая волна лазера, направленного вдоль поверхности, создает в приповерхностном слое периодически-модулированные оптические свойства, описываемые функцией  $\sigma(\mathbf{r},\omega)$ , которая из сравнения формул (4) и (5) имеет вид

$$\sigma(\mathbf{r},\omega) = \frac{\omega}{4\pi i} \chi |\mathbf{E}_L(\omega)|^2 \cos^2(k_0 x). \tag{6}$$

Вводя обозначение  $I_L = |\mathbf{E}_L(\omega)|^2$ , получаем, что под действием внешнего поля свободных электронов  $\mathbf{E}_0(\mathbf{r},\omega)$ , пролетающих над такой поверхностью на расстоянии h, возникает плотность тока

$$\mathbf{j}(\mathbf{r},\omega) = \frac{\omega}{4\pi i} \chi I_L \cos^2(k_0 x) \mathbf{E}_0(\mathbf{r},\omega).$$
 (7)

Считая этот приповерхностный слой с индуцированной в нем периодической неоднородностью тонким, рассчитаем характеристики излучения в вакууме. В домене  $(\mathbf{q}, \omega)$  фурье-образ уравнений Максвелла является алгебраическим, что позволяет получить уравнение, связывающее компоненты фурье-образов поля  $\mathbf{E}(\mathbf{q}, \omega)$  и  $\mathbf{j}(\mathbf{q}, \omega)$ :

$$A_{ij}E_j(\mathbf{q},\omega) = -\frac{4\pi i\omega}{c^2}j_i(\mathbf{q},\omega), \tag{8}$$

где  $A_{ij}=q_iq_j-(q^2-\omega^2/c^2)\delta_{ij}$ . Обратный тензор должен иметь ту же тензорную структуру, что и прямой, т.е. иметь вид  $A_{ij}^{-1}=aq_iq_j+b\delta_{ij}$ . Неизвестные коэффициенты a и b можно найти, используя условие  $A_{ij}^{-1}A_{js}=\delta_{is}$ , так что в домене  $(\mathbf{r},\omega)$  фурье-образ поля принимает вид

$$E_i(\mathbf{r},\omega) = \frac{4\pi i}{\omega} \int d^3q e^{i\mathbf{q}\mathbf{r}} \frac{k^2 \delta_{ij} - q_i q_j}{q^2 - k^2} j_j(\mathbf{q},\omega), \quad (9)$$

где обозначено  $k=\omega/c$ . Для вычисления поля излучения удобно воспользоваться известной асимптотикой

$$\int d^3q e^{i\mathbf{q}\mathbf{r}} \frac{f(\mathbf{q})}{q^2 - k^2 - i0} \xrightarrow{kr \gg 1} 2\pi^2 \frac{e^{ikr}}{r} f(\mathbf{k}), \qquad (10)$$

Письма в ЖЭТФ том 117 вып. 3-4 2023

где  $\mathbf{k} = k\mathbf{r}/r$ . Тогда распределение по углам и частотам энергии, излученной зарядом e, есть

$$\frac{d^2W(\mathbf{n},\omega)}{d\Omega d\omega} = \frac{e^2}{c} \frac{\chi^2 I_L^2}{\omega^2 4\pi^4} |\mathbf{k} \times \boldsymbol{\xi}|^2, \tag{11}$$

где

$$\boldsymbol{\xi} = \int d^3r e^{i\mathbf{k}\mathbf{r}}\cos^2(k_0x) \times$$

$$\times \int d^3 q e^{i\mathbf{q}\mathbf{r}} e^{-iq_z h} \frac{k^2 \mathbf{v} - \omega \mathbf{q}}{q^2 - k^2} \delta(\omega - \mathbf{q}\mathbf{v}). \tag{12}$$

Пусть свободный электрон двигается вдоль оси x. Вычисление интегралов в формуле (12) дает

$$\frac{d^2W(\mathbf{n},\omega)}{d\Omega d\omega} = \frac{e^2}{c} \chi^2 I_L^2 \frac{\pi}{8} \frac{T}{(1-\beta n_x)^2} e^{-h\rho} \times$$

$$\times \frac{|\mathbf{k} \times (\mathbf{b} - i\omega\rho\mathbf{e}_z)|^2}{\omega^2\rho^2(\rho^2 + k_z^2)} \delta\left(\omega - \frac{2\omega_0\sqrt{\varepsilon(\omega_0)}}{\beta^{-1} - n_x}\right), \quad (13)$$

где  $\gamma$  — Лоренц-фактор электрона,  $\mathbf{n}$  — единичный вектор в направлении излучения,

$$\mathbf{b} = \frac{\omega^2}{v\gamma^2} \mathbf{e}_x + \omega k_y \mathbf{e}_y,$$

$$\rho = \frac{\omega}{c\beta\gamma} \sqrt{1 + \beta^2 \gamma^2 n_y^2}.$$
(14)

При получении формулы (13) учтено, что излучения Вавилова—Черенкова в вакууме нет и частота положительна; также, мы воспользовались известным представлением квадрата дельта-функции через произведение дельта-функции на время процесса излучения T, как в задаче Тамма о черенковском излучении при конечном времени пролета.

3. Анализ. Выражение (13) пропорционально характерной экспоненте  $e^{-h\rho}$ , стандартной для любой разновидности дифракционного излучения или ИСП. Квадратичная зависимость от интенсивности лазерного поля  $I_L^2$  также ожидаема: это характерная черта для изотропных материалов, оптические свойства которых, индуцированные внешним полем, характеризуются квадратичной зависимостью  $|\mathbf{E}_L|^2$ по амплитуде поля в соответствии с законом Керра; наличие квадратичной зависимости уже в плотности индуцированного тока (см. формулу (7)), приводит в формуле (13) к квадратичной зависимости интенсивности излучения от интенсивности поля лазерной волны. Также, ожидаемой является линейная зависимость от времени пролета электрона T над областью поверхности, где существует стоячая волна - это характерная черта для всех типов излучения, генерируемых с единицы длины пути (излучение Вавилова-Черенкова, ИСП и др.).

Необычным в выражении (13) является аргумент дельта-функции, связывающий частоту излучения с углом и периодом решетки:

$$\omega = \frac{2\omega_0\sqrt{\varepsilon(\omega_0)}}{\beta^{-1} - n_x}. (15)$$

Наличие двойки в знаменателе правой части определяется квадратичностью зависимости от амплитуды внешнего поля в законе Керра; аналогично возникает и генерация второй гармоники в нелинейной оптике. Перепишем (15) в виде

$$\lambda = \frac{\lambda_0}{2} (\beta^{-1} - \cos \theta). \tag{16}$$

Величина  $\lambda_0 = 2\pi c/(\omega_0\sqrt{\varepsilon(\omega_0)})$  определяет период стоячей волны в среде с диэлектрической проницаемостью  $\varepsilon(\omega_0)$ . Формула (16) отличается от (1) прежде всего отсутствием дифракционных порядков. Это фундаментальное различие является следствием того, что поверхность ровная. В работе [12] показано, что наличие дифракционных порядков сохраняется в дисперсионном соотношении для любого профиля периодически-неровной поверхности.

Другой интересной чертой выражения (16) является зависимость минимальной длины волны  $\lambda_{\min} =$  $= \lambda_0/(4\gamma^2)$  от Лоренц-фактора: эта зависимость является отличительной чертой обратного томсоновского (или, в квантовом режиме, комптоновского) рассеяния. Физически это может быть объяснено тем, что плотность динамической поляризации вещества, являющаяся источником излучения, создается (Лоренц-деформированным) кулоновским полем быстрого электрона (см. пересечение серого и оранжевого на рис. 1). В случае релятивистской скорости электрона эта область с релятивистской же скоростью перемещается и взаимодействует с полем (стоячей) лазерной волны, а в этой постановке задача имеет характерные черты задачи об обратном томсоновском/комптоновском рассеянии фотонов на релятивистских электронах.

Отметим, что использование лазера в подобных задачах не является чем-то экзотическим. К примеру, в хорошо разработанном и применяемом на практике методе электрооптической диагностики (electrooptic sampling), имеющем очень широкое применение [35, 36], и в том числе и для диагностики электронных пучков [37], поле электронов пучка возмущает электронную плотность в приповерхностном слое, меняя тем самым его оптические свойства, что регистрируется лазерным лучом, направленным вдоль поверхности. Предсказанный в настоящей работе эффект может быть использован при разработке невоз-

мущающих схем диагностики релятивистских электронных пучков, как самостоятельный, так и для модификации электрооптической схемы; в этом плане, резкая квадратичная зависимость интенсивности излучения по формуле (13) от интенсивности лазерной волны может быть особенно привлекательна с экспериментальной точки зрения.

Полученный нами результат означает, что в отличие от стандартного ИСП от периодически-неровных решеток, в исследованном нами типе излучения не содержится дифракционных порядков, "уводящих" излучение с фиксированной длиной волны в другие углы. В нашем случае все излучение на одной частоте сосредоточено в одном пике. Данный эффект позволяет управлять частотой или углом излучения, меняя частоту лазера, и может лечь в основу новых компактных источников излучения с перестраиваемыми характеристиками.

Автор благодарен А. М. Фещенко за полезные обсуждения.

Исследование выполнено при финансовой поддержке Министерства науки и высшего образования РФ, проект # FZWG-2020-0032 (2019-1569) (части 1, 2) в конкурсной части госзадания по созданию и развитию лабораторий, и, частично, договор # 075-15-2021-1361 от 07.10.2021 (часть 3).

- S. J. Smith and E. M. Purcell, Phys. Rev. 92, 1069 (1953).
- 2. И. М. Франк, Известия АН СССР, сер. Физ. **6**, 3 (1942).
- 3. Б. М. Болотовский, Г. В. Воскресенский, УФН **88**, 209-251 (1966) [В. М. Bolotovskii and G. V. Voskresenskii, Sov. Phys. Usp. **9**, 73 (1966)].
- Б. М. Болотовский, Г. В. Воскресенский, УФН 94, 378 (1968) [В. М. Bolotovskii and G. V. Voskresenskii, Sov. Phys. Usp. 11, 143 (1968)].
- S. J. Glass and H. Mendlowitz, Phys. Rev. 174, 57 (1968).
- V.P. Shestopalov, The Smith-Purcell Effect, Nova Science Publishers, Commack, NY (1998).
- G. Doucas, J. H. Mulvey, M. Omori, J. Walsh, and M. F. Kimmitt, Phys. Rev. Lett. 69, 1761 (1992).
- 8. P. Rullhusen, X. Artru, and P. Dhez, Novel Radiation Sources Using Relativistic Electrons, World Scientific, Singapore (1998).
- 9. A.P. Potylitsyn, Phys. Lett. A 238, 112 (1998).
- Y. Shibata, S. Hasebe, K. Ishi, S. Ono, M. Ikezawa, T. Nakazato, M. Oyamada, S. Urasawa, T. Takahashi, T. Matsuyama, K. Kobayashi, and Y. Fujita, Phys. Rev. E 57, 1061 (1998).

- G. Kube, H. Backe, H. Euteneuer, A. Grendel,
   F. Hagenbuck, H. Hartmann, K.H. Kaiser,
   W. Lauth, H. Schope, G. Wagner, Th. Walcher,
   and M. Kretzschmar, Phys. Rev. E 65, 056501 (2002).
- 12. М.И. Рязанов, М.Н. Стриханов, А.А. Тищенко, ЖЭТФ **126**, 349 (2004) [М.І. Ryazanov, M.N. Strikhanov, and A.A. Tishchenko, JETP **99**, 311 (2004)].
- I. Kaminer, S. E. Kooi, R. Shiloh, B. Zhen, Y. Shen, J. J. López, R. Remez, S. A. Skirlo, Y. Yang, J. D. Joannopoulos, A. Arie, and M. Soljačić, Phys. Rev. X 7, 011003 (2017).
- C. Roques-Carmes, S. E. Kooi, Y. Yang, A. Massuda,
   P. D. Keathley, A. Zaidi, Y. Yang, J. D. Joannopoulos,
   K. K. Berggren, I. Kaminer, and M. Soljačić, Nat.
   Commun. 10, 3176 (2019).
- 15. F. J. Garciá de Abajo, Rev. Mod. Phys. 82, 209 (2010).
- 16. N. Rivera and I. Kaminer, Nat. Rev. Phys. 2, 538 (2020).
- A. A. Tishchenko and D. Yu. Sergeeva, Phys. Rev. B 100, 235421 (2019).
- 18. T. Ochiai and K. Ohtaka, Opt. Express 13, 7683 (2005).
- N. Horiuchi, T. Ochiai, J. Inoue, Y. Segawa, Y. Shibata, K. Ishi, Y. Kondo, M. Kanbe, H. Miyazaki, F. Hinode, S. Yamaguti, and K. Ohtaka, Phys. Rev. E 74, 056601 (2006).
- D. Yu. Sergeeva, A. A. Tishchenko, and M. N. Strikhanov, Nucl. Instrum. Methods B 402, 206 (2017).
- D.I. Garaev, D.Yu. Sergeeva, and A.A. Tishchenko, Phys. Rev. B 103, 075403 (2021).
- А. А. Тищенко, Д.Ю. Сергеева, Письма в ЖЭТФ 115, 762 (2022) [D. Yu. Sergeeva and A. A. Tishchenko, JETP Lett. 115(12), 713 (2022)].
- D. Yu. Sergeeva, D. I. Garaev, and A. A. Tishchenko, JOSA B 39, 3275 (2022).
- Y. Yang, A. Massuda, C. Roques-Carmes, S. E. Kooi,
   T. Christensen, S. G. Johnson, J. D. Joannopoulos,
   O. D. Miller, I. Kaminer, and M. Soljačić, Nature Phys.
   14, 894 (2018).
- L. Liang, W. Liu, Y. Liu, Q. Jia, L. Wang, and Y. Lu, Appl. Phys. Lett. 113, 013501 (2018).
- A. Pizzi, G. Rosolen, L. J. Wong, R. Ischebeck, M. Soljačić, T. Feurer, and I. Kaminer, Adv. Sci. 7, 1901609 (2020).
- D. Yu. Sergeeva, A. S. Aryshev, A. A. Tishchenko, K. E. Popov, N. Terunuma, and J. Urakawa, Opt. Lett. 46, 544 (2021).
- A. Karnieli, D. Roitman, M. Liebtrau, S. Tsesses, N. V. Nielen, I. Kaminer, A. Arie, and A. Polman, Nano Lett. 22, 5641 (2022).
- R. Remez, A. Karnieli, S. Trajtenberg-Mills, N. Shapira,
   I. Kaminer, Y. Lereah, and A. Arie, Phys. Rev. Lett.
   123, 060401 (2019).
- D. V. Karlovets and A. M. Pupasov-Maksimov, Phys. Rev. A 103, 012214 (2021).

- A. Pupasov-Maksimov and D. Karlovets, Phys. Rev. A 105, 042206 (2022).
- 32. Z. Chen, M. Jin, L. Mao, X. Shi, N. Bai, and X. Sun, Opt. Lett. **47**, 2911 (2022).
- 33. М.Л. Тер-Микаелян, Влияние среды на электромагнитные процессы при высоких энергиях, Изд-во АН АрмССР, Ереван (1969) [М. L. Ter-Mikaelian, High-Energy Electromagnetic Processes in Condensed Media, Wiley-Interscience, N.Y. (1972)].
- 34. Л.Д. Ландау, Е.М. Лифшиц, Электродинамика сплошных сред, Курс теоретической физики, Наука, М. (1992), т.8 [L.D. Landau and E.M. Lifshitz,

- Electrodynamics of Continuous Media, Pergamon Press, Oxford (1993)].
- 35. B. Crockett, J. van Howe, N. Montaut, R. Morandotti, and J. Azana, Laser Photonics Rev. 16, 2100635 (2022).
- E. Ridente, M. Mamaikin, N. Altwaijry, D. Zimin, M. F. Kling, V. Pervak, M. Weidman, F. Krausz, and N. Karpowicz, Nature Commun. 13, 1111 (2022).
- R. Pompili, M. P. Anania, M. Bellaveglia, A. Biagioni,
   G. Castorina, E. Chiadroni, A. Cianchi, M. Croia,
   D. Di Giovenale, and M. Ferrario, New J. Phys. 18, 083033 (2016).